

مدلسازی عددی و تحلیل نیروهای الکترومغناطیسی ترانسفورماتور اول و مقایسه آن با ترانسفورماتور سیلندری با استفاده از روش اجزای المان محدود

کریم عباس زاده^۱ فاطمه صفار

۱- دانشیار- دانشکده مهندسی برق-دانشگاه صنعتی خواجه نصیرالدین طوسی- تهران- ایران

Abbaszadeh@Kntu.ac.ir

۲- کارشناسی ارشد- دانشکده فنی و مهندسی-دانشگاه آزاد اسلامی تهران جنوب- تهران - ایران

fadak_943@yahoo.com

چکیده: ترانسفورماتور توزیع با سیم پیچی بیضی‌گون در ردیف توان‌های کم، به عنوان ترانسفورماتور بهینه مطرح می‌گردد. زیرا مقدار آهن و مس مصرفی آن کاهش می‌یابد که این امر منجر به کم شدن تلفات این نوع ترانسفورماتور نسبت به ترانسفورماتور سیلندری می‌گردد. اما با توجه به تغییر شکل مقطع این ترانسفورماتور از دایره به بیضی باید نیروهای الکترومغناطیسی آن تحلیل گردد. در مقالات روش‌های مختلفی برای محاسبه نیروهای الکترومغناطیسی ترانسفورماتور سیلندری استفاده شده است. اما در خصوص ترانسفورماتور بیضی‌گون تاکنون تحلیلی بر روی نیروهای الکترومغناطیسی آن انجام نشده است. بدین جهت در این مقاله به مطالعه نیروهای این ترانسفورماتور پرداخته شده و با مقدار نیروهای ترانسفورماتور سیلندری مقایسه گردیده است. این نیروها در دو حالت کاربرمال و اتصال کوتاه سه فاز متقارن با استفاده از روش اجزای المان محدود در محیط سه بعدی و توسط نرم افزار V.13 Maxwell تحلیل شده‌اند. در این روش، بردار پتانسیل مغناطیسی، چگالی شار و نیروهای الکترومغناطیسی محاسبه می‌گردند.

کلمات کلیدی: ترانسفورماتور اول، ترانسفورماتور سیلندری، ترانسفورماتور بهینه، نیروهای الکترومغناطیسی، روش اجزای المان محدود.

تاریخ ارسال مقاله: ۱۳۹۱/۱۰/۴

تاریخ پذیرش مشروط مقاله: ۱۳۹۲/۰۴/۲۵

تاریخ پذیرش مقاله: ۱۳۹۲/۰۹/۲۳

نام نویسنده مسئول: دکتر کریم عباس زاده

نشانی نویسنده مسئول: دانشکده مهندسی برق دانشگاه صنعتی خواجه نصیر الدین طوسی



۱- مقدمه

جدول (۱): اوزان کاهاش یافته در ترانسفورماتور بیضی گون ۲۰۰ kVA

۳۰ kg	وزن مس کاهاش یافته
۱۰ kg	وزن ورق هسته کاهاش یافته
۴۰ kg	وزن روغن کاهاش یافته
۸۰ kg	کل وزن کاهاش یافته ترانسفورماتور

ترانسفورماتور فوق در اکثر شرکت‌های بزرگ ترانسفورماتور-سازی همانند ABB و شرکت‌های کرماهی بصورت انبوه در حال تولید است. در ایران نیز حدوداً ۱۰۰ نمونه به صورت آزمایشی تولید شده است. اما تکنولوژی ساخت این ترانسفورماتور به صورت کامل در دسترس نمی‌باشد. بویژه در زمینه محاسبه‌ی نیروهای الکترومغناطیسی و محاسبات حرارتی؛ علاوه بر اینکه مقاله‌ای نیز در مجامع بین‌المللی در این زمینه ارائه نگردیده و همچنان موضوع مورد بحث بصورت تکنولوژی در بین سازنده‌های آن باقی مانده است. لذا در این مقاله سعی شده است تا در راستای تولید این تکنولوژی گام برداشته تا شاید نتایج بدست آمده از آن و مقالات دیگر، بتواند در جهت ساخت ترانسفورماتور بیضی گون در صنعت ایران مثمر ثمر واقع شود.

نیروهای الکترومغناطیسی ترانسفورماتور از اثر متقابل چگالی جریان و چگالی شار نشستی بوجود می‌آیند. در حالت کار عادی، ترانسفورماتور قادر به تحمل این نیروهای است. اما طراحی باید به گونه‌ای صورت گیرد که ترانسفورماتور در برابر جریان اتصال کوتاه، از استقامت مکانیکی خوبی برخوردار باشد و سیم پیچ‌های آن دچار تغییر شکل نگرددن [۱-۲]، به منظور محاسبه‌ی نیروها، باید نحوه توزیع چگالی شار نشستی بدست آید که بر همین اساس روش‌های متفاوتی وجود دارد. محاسبه‌ی چگالی شار نشستی در حالت گذرای اتصال کوتاه با استفاده از روش‌های قدیمی سخت است. اما با استفاده از روش اجزای المان محدود و با یک مدل کامل و شرایط مرزی مربوطه می‌توان به حل آن پرداخت، البته این روش، روش گرانی برای ارزیابی مسئله است [۳]، از روش‌های دیگر محاسبه‌ی شار نشستی، استفاده از مدل رلوکتانسی ترانسفورماتور در حوزه زمان است. این روش بر اساس ترسیم مدار معادل مغناطیسی ترانسفورماتور است، که همسان مدار الکتریکی است [۴]. روش دیگر برای تحلیل نیروها استفاده از محاسبات عددی است. این روش بر مبنای جریان اتصال کوتاه گذرا است. مقدار چگالی شار، چگالی جریان و نیروها به صورت مختلط بیان می‌گرددن و نیروهای اتصال کوتاه به صورت مجموع سه مولفه DC، فرکанс اصلی و فرکанс دوبل

ترانسفورماتور از مهم‌ترین اجزای شبکه‌های توزیع می‌باشد. در صورت جایگزینی ترانسفورماتور کارکرده با ترانسفورماتور جدید و بهینه، درصد بالایی از تلفات شبکه‌های توزیع کاسته خواهد شد و سرانه صرفه جویی زیادی در صنعت برق صورت خواهد گرفت. بهینه‌سازی ترانسفورماتور می‌تواند به وسیله‌ی کاهاش در وزن، تلفات بی‌باری و تلفات بارداری صورت گیرد؛ که این امر با تغییر در ابعاد هسته و سیم پیچها و یا تغییر در نوع سیم و ورق هسته-ی ترانسفورماتور حاصل می‌گردد. در همین راستا، در ترانسفورماتوری با نام تجاری اول بوسیله‌ی تغییر در مقطع هسته و سیم پیچ‌ها، از دایره به بیضی، بهینه‌سازی صورت گرفته است (شکل ۱). با این تغییر در ساختار، استفاده‌ی بهینه‌تری از فضای موجود شده و امکان تولید ترانسفورماتورهای معمولی با کاهاش ارتفاع چشمگیری نسبت به ترانسفورماتوری با مقطع دایره (سیلندری) فراهم شده است. این کاهاش در ارتفاع با توجه به نوع طراحی، می‌تواند باعث کاهاش قابل ملاحظه‌ای در وزن مس و آهن و یا کاهاش تلفات (بی‌باری و بارداری) گردد. به-عنوان مثال اوزان کاهاش یافته در یک ترانسفورماتور ۲۰۰ kVA بیضی گون^۱ نسبت به ترانسفورماتوری با مقطع دایره (سیلندری) بصورت جدول (۱) می‌باشد، که این مقادیر کاهاش وزن برای ترانسفورماتور توزیع در این ردیف توان، قابل توجه است.



شکل (۱) مقطع ترانسفورماتور (الف) سیلندری، (ب) اول

اما در تکنولوژی طراحی و تولید این ترانسفورماتور به علت شکل مقطع آن باید ملاحظاتی صورت گیرد. از جمله پارامترهای دستخوش تغییر در طراحی ترانسفورماتور بیضی گون، نیروهای الکترومغناطیسی آن است؛ زیرا محاسبه‌ی نیروهای آن با استفاده از روابط ترانسفورماتور سیلندری امکان پذیر نبوده و دارای مقادیری متفاوت است.

محاسبه شده و سپس بیشترین نیروهای بدست آمده در ترانسفورماتور اول و سیلندری مقایسه گردیده‌اند.

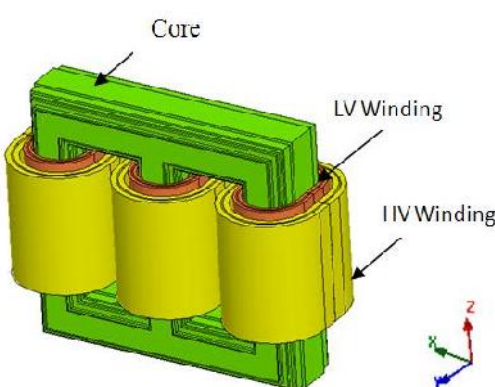
۱-۲- مدل‌سازی

- مشخصات ترانسفورماتور اول و سیلندری 200 kVA سه فاز با هسته‌ی ستونی مطابق جدول (۲) می‌باشد.

جدول (۲) مشخصات ترانسفورماتور اول و سیلندری

200 kVA	توان ترانسفورماتور(سیلندری، اول)
50 Hz	فرکانس
20 kV	ولتاژ فشار قوی
0.4 kV	ولتاژ فشار ضعیف
$5/77 \text{ A}$	جریان فشار قوی
289 A	جریان فشار ضعیف
$\text{Yzn}5$	گروه برداری

- مدل‌سازی در محیط سه بعدی مطابق شکل ۲ انجام شده است. به دلیل شکل مقطع ترانسفورماتور اول که به حالت بیضی نزدیک است، نمی‌توان از مدل دو بعدی استفاده نمود زیرا در بعد سوم تغییرات وجود دارد و یک عمق ثابت و یکسان نمی‌توان برای ترانسفورماتور اول در حالت دو بعدی در نظر گرفت. همچنین نتایج حاصله در محیط سه بعدی دقیق‌تر از دو بعدی است [۱۲-۱۳].



شکل (۲): مدل سه فاز ترانسفورماتور اول

- این مدل‌سازی در محیط مغناطیس ساکن (Magnetostatic) صورت پذیرفته است. قابل ذکر است که در چند نقطه‌ی کار $t = 0, \frac{\pi}{4}, \frac{3\pi}{4}, \frac{5\pi}{4}$ نیروهای الکترومغناطیسی تحلیل شده‌اند.

خواهد بود [۵]، در روشی به نام تئوری تصویر یک قسمت از هسته در نظر گرفته می‌شود و جواب بدست آمده به بقیه نقاط تعیین داده خواهد شد. در این روش با استفاده از خاصیت مجاورت یک جسم جریان‌دار در برابر یک هسته‌ی آهنی، میدان مغناطیسی سیم پیچ‌ها محاسبه گردیده و با توجه به چگالی جریان، نیروهای الکترومغناطیسی بدست می‌آیند [۶-۷].

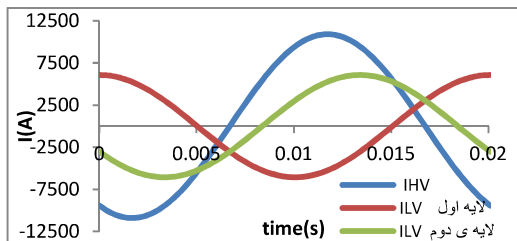
دو روش دیگر که بر مبنای معادلات ماکسول به حل نیروهای الکترومغناطیسی می‌پردازند به روش رابینز و روش ریشه‌ها معروف هستند. در روش رابینز معادلات ماکسول در محیط استوانه‌ای حل خواهد شد و نیروهای اتصال کوتاه بر اساس چگالی شار بدست آمده توسط این روش محاسبه می‌گردد اما نیروهای الکترومغناطیسی در روش ریشه‌ها با استفاده از حل معادلات پواسن بردار پتانسیل مغناطیسی در محیط کارتین بدست می‌آیند [۸-۹]. در روش انرژی، مقدار انرژی یا کوواریانسی سیستم با استفاده از چگالی شار و بردار پتانسیل مغناطیسی محاسبه می‌شود. در این روش مشتق تابع انرژی، نیروی الکترومغناطیسی سیستم است [۱۰] و هنگامی که در ترانسفورماتور تپ چنجر و یا جایه‌جایی محوری در سیم پیچ‌ها وجود داشته باشد، می‌توان از روش آمپر دور باقیمانده استفاده کرد [۱۱].

در این مقاله، به منظور محاسبه‌ی نیروهای ترانسفورماتور بیضی‌گون 200 kVA از روش اجزای المان محدود استفاده شده است و برای دست یافتن به میزان تفاوت نیروهای این ترانسفورماتور بهینه با ترانسفورماتورهای سیلندری، مقایسه‌ای بین نتایج حاصله از این دو ترانسفورماتور با قدرت مشابه 200 kVA انجام شده است. این مقایسه هم در خصوص نیروهای شعاعی و هم نیروی محوری صورت گرفته است. قابل ذکر است که هر دو ترانسفورماتور در محیط سه بعدی و با شرایط یکسانی مدل شده‌اند تا مقایسه‌ی صحیح‌تری بین نتایج آنها صورت گیرد. از نتایج بدست آمده توسط این نیروها، می‌توان نوع مهارهای محوری و افقی لازم را تعیین کرد. بنحوی که در هنگام اتصال کوتاه کمترین آسیب به ترانسفورماتور وارد شود. در ادامه‌ی مقاله برای سهولت امر از نام تجاری ترانسفورماتور بیضی‌گون یعنی اول استفاده شده است.

۲- تحلیل نیروها

در ابتدا نیروهای الکترومغناطیسی در حالت کار نرمال و اتصال کوتاه سه فاز متقارن توسط روش اجزای المان محدود

- توزیع چگالی جریان در هادیها بصورت یکنواخت فرض شده است. با توجه به وجود اتصال زیگزاگ در سمت فشار ضعیف دو ترانسفورماتور، جریان در دو لایه این سیم پیچها دارای اختلاف فاز بوده و در یک زمان به پیک نمی‌رسند. منحنی جریان‌های سیم پیچ فشار قوی و ضعیف مطابق شکل ۴ می‌باشد.

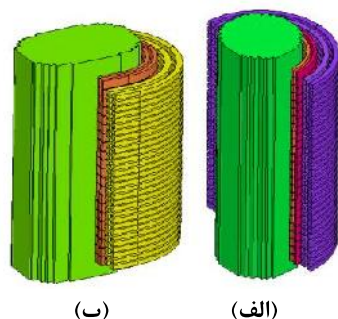


شکل (۴): منحنی جریان سیم پیچ های ترانسفورماتور اول و سیلندری در شرایط عملکرد نرمال

- در این مدلسازی برای بدست آوردن توزیع نیروها در راستای محوری و شعاعی همانند شکل ۵، سیم‌پیچ‌های فشار ضعیف (LV) و فشار قوی (HV) به قسمت‌های مختلفی تقسیم شده‌اند، تعداد این تقسیمات در جدول (۳) ارائه شده است.
- به دلیل بالا بودن حجم محاسبات و به علت تقارن در ترانسفورماتور محاسبات برای $\frac{1}{4}$ یک ساق انجام شده است (شکل ۶).

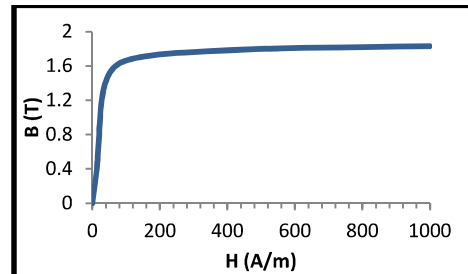
جدول (۳) تعداد تقسیمات سیم پیچ های ترانسفورماتور اول و سیلندری در راستای محوری و شعاعی

راستای شعاعی	راستای محوری		
۴	۲۱	فشار ضعیف	ترانسفورماتور اول
	۳۰	فشار قوی	
	۲۵	فشار ضعیف	ترانسفورماتور سیلندری
	۳۰	فشار قوی	



شکل (۵) مدل یک ساق ترانسفورماتور (الف) سیلندری (ب) اول

- مشخصه‌ی مغناطیسی هسته ترانسفورماتور مطابق شکل ۳ به صورت غیر خطی در نظر گرفته شده است [۱۵, ۱۴].



شکل (۳): منحنی مشخصه‌ی مغناطیسی ترانسفورماتور Maxwells نیروهای الکترومغناطیسی در نرم افزار توسعه قانون لورنتز محاسبه شده‌اند، که در ادامه روابط آن بیان می‌گردد [۱۶].

$$F = \int J \times BdV \quad (1)$$

در رابطه‌ی (۱) مقدار چگالی شار از بردار واسطه‌ای به نام بردار پتانسیل مغناطیسی (A) محاسبه می‌گردد [۱۷].

$$\vec{B} = \nabla \times \vec{A} \quad (2)$$

$$\bar{H} = \frac{\vec{B}}{\mu_0 \mu_r} \quad (3)$$

$$\nabla \times \bar{H} = \vec{J} \quad (4)$$

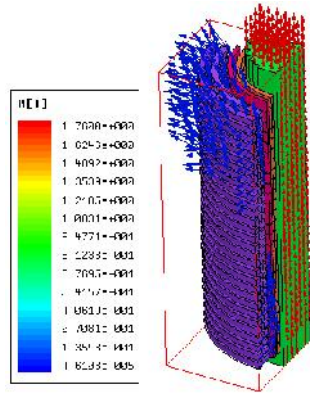
با استفاده از رابطه‌ی (۲) و (۳) و (۴) داریم :

$$\nabla \times \frac{\vec{B}}{\mu_0 \mu_r} = \vec{J} \quad (5)$$

$$\nabla \times \frac{1}{\mu_0 \mu_r} (\nabla \times \vec{A}) = J \quad (6)$$

$$J_z(x, y) = \nabla \times \left(\frac{1}{\mu_0 \mu_r} (\nabla \times A(x, y)) \right) \quad (7)$$

در روابط بالا، F بیانگر نیروی الکترومغناطیسی، B چگالی شار، A بردار پتانسیل مغناطیسی، H شدت میدان مغناطیسی، J چگال جریان و μ_0, μ_r به ترتیب ضریب پرماینده‌ی هوا و ورق هسته می‌باشند. به علت غیر خطی بودن منحنی B-H برای حل این معادلات و بدست آوردن بردار پتانسیل مغناطیسی A از روش نیوتن رافسون استفاده می‌شود [۱۸].



شکل (۸): بردارهای چگالی شار مغناطیسی ترانسفورماتور سیلندری

۲-۲- محاسبات نیروی الکترومغناطیسی در شرایط کار نرمال

نیروهای بدست آمده توسط روابط به دو قسمت نیروی شعاعی و محوری تقسیم می‌شوند، که علت آن تقسیم چگالی شار نشتی به دو مؤلفه‌ی شعاعی و محوری است. جریانهای عبوری از سیم-پیچی که تحت تاثیر مؤلفه‌ی شار پراکندگی محوری قرار می-گیرند، نیروهای شعاعی تولید می‌نمایند. طبیعت نیروهای شعاعی طوری است که سعی دارند سیم پیچی خارجی را ترکانده (از هم پاشیده) و سیم پیچی داخلی را به هسته بفشارند. نیروی شعاعی در ترانسفورماتور اول به دلیل شکل مقطع آن، در دو راستای x , y ، z بیان می‌گردد. رابطه‌ی نیروی شعاعی با ابعاد ترانسفورماتور به صورت رابطه‌ی (۸) است [۲۰].

$$F_{radial} = \frac{1}{2} \mu (NI)^2 \times \left(\frac{L_{mt}}{H_w} \right) \quad (8)$$

$$\text{قطر میانگین هسته} = L_{mt}$$

$$\text{ارتفاع سیم پیچ} = H_w$$

جریانهای سیم پیچی که با مؤلفه‌ی شعاعی شار پراکندگی تأثیر متقابل پیدا می‌کنند، نیروهای محوری فشاری تولید می-کنند که تمایل دارند سیم پیچ‌ها را در وسط بهم فشار دهند [۲۱].

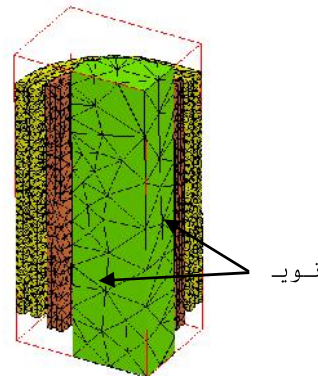
$$F_{axial} = \frac{1}{2} \mu (NI)^2 \times \left(\frac{L_{mt}}{2(a+b_1+b_2)} \right) \quad (9)$$

: کanal بین سیم پیچ فشار ضعیف و فشار قوی

b_1 : پهنه‌ی سیم پیچ فشار ضعیف

b_2 : پهنه‌ی سیم پیچ فشار قوی

- پس از انجام مدلسازی در مرحله‌ی حل معادلات ماسکول توسط نرم افزار ابتدا باید شرایط مرزی مسئله مشخص گردد [۱۹]. این شرایط مرزی مطابق شکل ۶ در دو سطح برش زده شده نویمن و در بقیه‌ی سطوح دیریکله در نظر گرفته شده است. شرایط مرزی در ترانسفورماتور اول و سیلندری مشابه یکدیگر لحاظ شده‌اند.



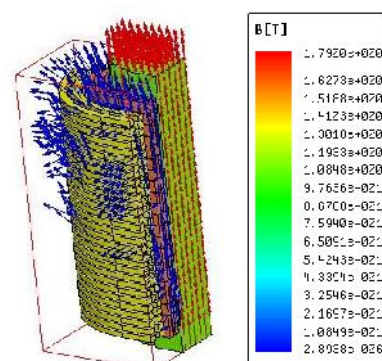
شکل (۶): شرایط مرزی مدل ترانسفورماتور اول

- تعداد مش‌های زده شده توسط نرم افزار مطابق با جدول (۴) می‌باشد.

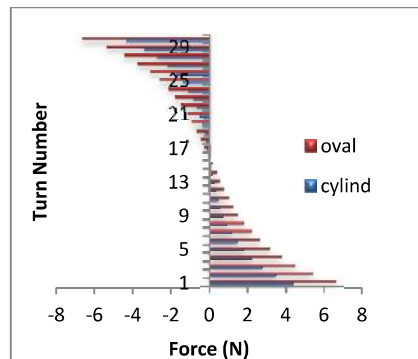
جدول (۴) تعداد مش‌های زده شده در مدل ترانسفورماتور اول و سیلندری

ترانسفورماتور اول	ترانسفورماتور اول تعداد کل مش‌های زده شده
۶۳۹۶	۵۷۴۴۱

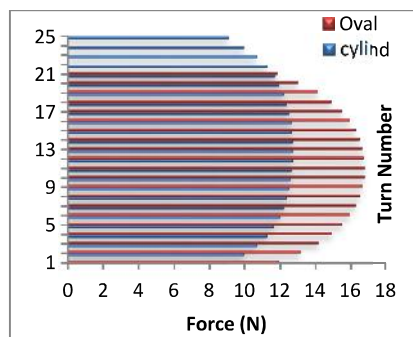
- بعد از انجام عملیات مش‌زنی به حل معادلات ماسکول پرداخته می‌شود. که در نتیجه‌ی آن بردارهای چگالی شار در شرایط کار نرمال، به فرم شکل (۷) در ترانسفورماتور اول و شکل (۸) در ترانسفورماتور سیلندری بدست می‌آیند.



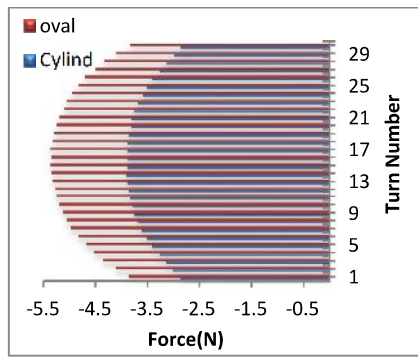
شکل (۷) : بردارهای چگالی شار مغناطیسی ترانسفورماتور اول



(ب)



(ج)



(د)

شکل (۹): توزیع نیروی الکترومغناطیسی در شرایط عملکرد نرمال ترانسفورماتور اوال و سیلندری، (الف) نیروی محوری LV، (ب) نیروی محوری HV، (ج) نیروی شعاعی LV، (د) نیروی شعاعی HV

با توجه به قسمت ج و د شکل ۹، بیشترین مقدار نیروی شعاعی در سیم پیچ فشار ضعیف اوال برابر $N = 16/78$ و در سیلندری $N = 12/64$ است و مقدار بیشینه‌ی این نیرو در سیم پیچ فشارقوی اوال برابر $N = 5/35$ و در سیلندری $N = 3/88$ است. در یک مقایسه‌ی کلی، این نتیجه حاصل می‌شود که در سیم پیچ اوال، نیروی شعاعی 1.3 برابر بیشتر از سیم پیچ سیلندری است. از علل این امر می‌توان به افزایش قطر میانگین سیم پیچها، کاهش ارتفاع بوبین و تغییر مقطع ترانسفورماتور اوال در دو راستای x, y اشاره کرد. تفاوت در شکل مقطع سیم پیچ اوال، باعث تغییر در توزیع چگالی شار محوری می‌گردد، بنحویکه مقدار چگالی شار محوری در راستای y ، به دلیل افزایش

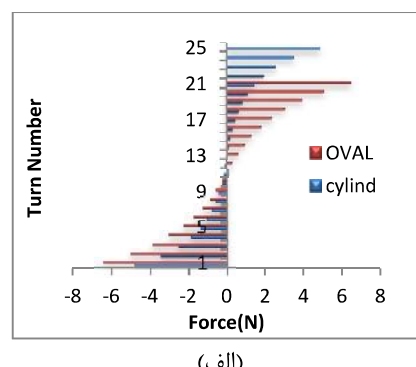
با استفاده از روابط (۸) و (۹)، در روش اجزای المان محدود پس از به دست آوردن چگالی شار مغناطیسی و چگالی جریان اعمال شده، به محاسبه‌ی نیروهای الکترومغناطیسی پرداخته می‌شود، به عنوان مثال در جدول (۵) نیروهای محاسبه شده در شرایط کار نرمال بیان گردیده است.

جدول (۵): نیروی الکترومغناطیسی محوری سیم پیچی فشار ضعیف ترانسفورماتور اوال و سیلندری نسبت به تغییرات زمان در شرایط کار نرمال

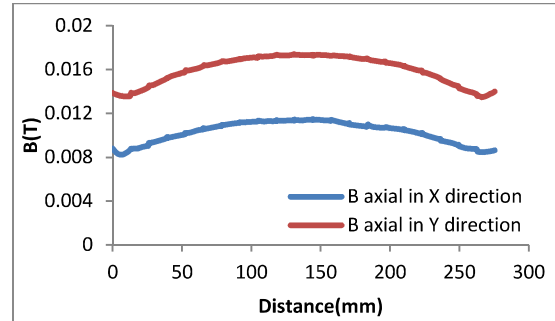
نرمال					
$t = \frac{5\pi}{4}$	$t = \frac{3\pi}{4}$	$t = \frac{\pi}{2}$	$t = \frac{\pi}{4}$	$t = 0$	نیروی محوری (N) محاسبه شده با نرم Maxwell افزار
-6/4	-0/6	-2/06	-6/4	-4/97	دور اول سیم پیچی فشار ضعیف اوال
6/4	0/6	2/06	6/41	4/97	دور آخر اول سیم پیچی فشار ضعیف سیلندری
-4/8	-0/46	-1/53	-4/78	-3/71	دور اول سیم پیچی فشار ضعیف سیلندری
4/8	0/46	1/53	4/78	3/71	دور آخر سیلندری

۲-۳- مقایسه نیروی الکترومغناطیسی در شرایط کار نرمال در ترانسفورماتور اوال و سیلندری

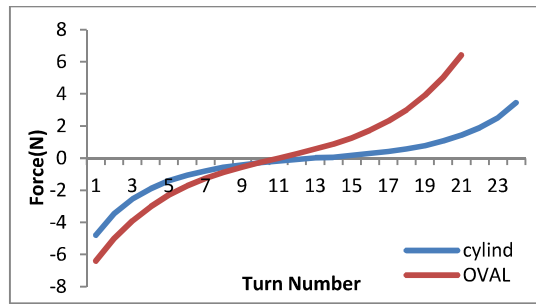
با توجه به تحلیلهای انجام شده در محیط Magnetostatic در ۵ زمان $t = 0, \frac{\pi}{4}, \frac{\pi}{2}, \frac{3\pi}{4}, \frac{5\pi}{4}$ ، نیروهای الکترومغناطیسی در $t = \frac{\pi}{4}$ تقریباً دارای بیشترین مقدار هستند، به همین دلیل نتایج نیروها در دو ترانس فوق در این نقطه کار مقایسه شده‌اند. شکل ۹ توزیع نیروهای الکترومغناطیسی در شرایط عملکرد نرمال این دو ترانسفورماتور را نشان می‌دهد.



(الف)

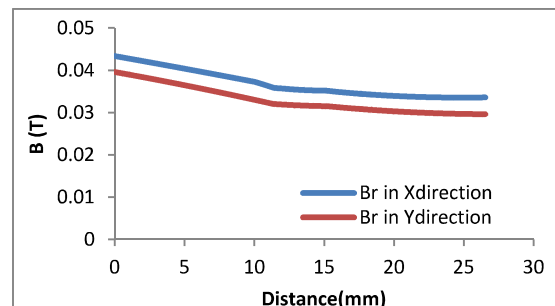


شکل (۱۱): مؤلفه‌ی چگالی شار محوری در راستای y, x در سیم پیچ ترانسفورماتور اول LV



شکل (۱۲): نیروی محوری سیم پیچ LV در حالت عملکرد نرمال ترانسفورماتورهای ا Oval و سیلندری

با توجه به مقایسه‌ی صورت گرفته در خصوص نیروی محوری ترانسفورماتور ا Oval و سیلندری در شکل ۱۲، ۹ و مقادیر جدول (۴)، این نتیجه حاصل می‌شود که مقدار نیروی محوری سیم پیچ سیلندری است. علت این امر تفاوت در ساختار سیم پیچ‌های دو ترانسفورماتور است؛ که منجر به تغییر در مقدار و نحوه توزیع چگالی شار عرضی می‌گردد. کاهش ارتفاع تقریباً ۲۰٪ و افزایش قطر میانگین سیم پیچ‌های ا Oval باعث افزایش مقدار چگالی شار عرضی شده است. همچنین یکسان نبودن توزیع چگالی شار عرضی در دو راستای y, x سیم پیچ ا Oval به دلیل شکل مقطع آن، نیروی محوری برآیند را افزایش داده است (شکل ۱۳).

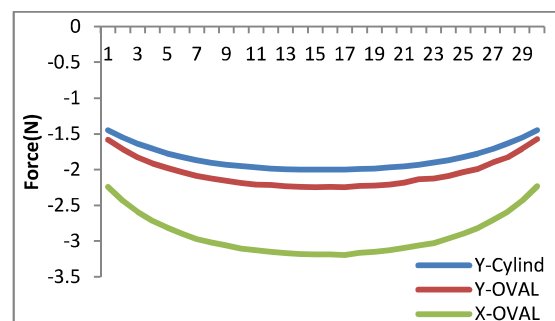


شکل (۱۳): مؤلفه‌ی چگالی شار عرضی در راستای y, x در سیم پیچ HV ترانسفورماتور اول

قطر میانگین، بیشتر از مؤلفه‌ی محوری چگالی شار در راستای x خواهد بود.

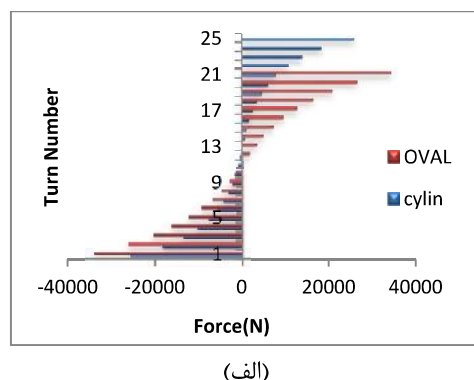
در شکل ۱۰ چگالی شار محوری در دو راستای y, x سیم پیچ فشار ضعیف ترانسفورماتور اول رسم شده است. در این شکل بیشتر بودن مقدار چگالی شار محوری در راستای y کاملاً مشخص است. افزایش مقدار این مؤلفه، موجب افزایش نیروی شعاعی در جهت محور x خواهد شد و به عبارت دیگر نیروی شعاعی در ترانسفورماتور اول تمایل دارد که سیم پیچ فشار قوی را در راستای x به دایره نزدیک کرده و سیم پیچ فشار ضعیف را در این راستا جمع کند. این موضوع در هنگام بروز اتصال کوتاه می‌تواند باعث تغییر شکل در سیم پیچهای اول گردد. اما در ترانسفورماتور سیلندری، به دلیل مقطع یکنواخت آن، نیروی شعاعی از توزیع یکنواختی در دو راستای y, x برخوردار است و لذا احتمال تغییر شکل سیم پیچها در این ترانسفورماتور کمتر است.

شکل ۱۱، نشان دهنده‌ی نیروی شعاعی ترانسفورماتور اول و سیلندری در دو راستای بیان شده است. مقدار نیروی شعاعی در راستای محور y ا Oval و سیلندری شبیه به یکدیگر هستند، زیرا مقطع ا Oval در این راستا به دایره شبیه است؛ اما به دلیل تغییر شکل مقطع ا Oval در راستای x ، نیروی شعاعی بیشتری ظاهر می‌گردد. به عنوان مثال مقدار این نیرو در ترانسفورماتور ا Oval در راستای x برابر $N^{3/19}$ ، و در راستای y $N^{2/24}$ است. اما در ترانسفورماتور سیلندری مقدار نیروی شعاعی در راستای x, y یکسان بوده و برابر N^2 است.



شکل (۱۰): مؤلفه‌ی y, x نیروی شعاعی سیم پیچ HV در حالت عملکرد نرمال ترانسفورماتورهای ا Oval و سیلندری

اتصال کوتاه، نیروی محوری سیم پیچ‌های فشار ضعیف و فشار قوی ترانسفورماتور اول بیشتر از ترانسفورماتور سیلندری است. منحنی توزیع نیروی محوری سیم پیچ فشار ضعیف در شکل ۱۶ رسم شده است که در آن بیشترین نیروی محوری برابر $N = 33890$ است، اما در سیم پیچ سیلندری $N = 25570$ می‌باشد. علت این تفاوت در قسمت ۲-۳ بیان گردید. همچنین با استفاده از نرم افزار Force Calculation Program ng41r50.Ver ۱.۰۴^۲، نیروهای ترانسفورماتور سیلندری محاسبه شده‌اند، این نرم افزار بر اساس تئوری تصویر به محاسبه نیروهای ترانسفورماتور می‌پردازد. بیشترین مقدار نیروی محوری سیم پیچ فشار ضعیف با استفاده از این نرم افزار $N = 23200$ بدست آمده است، که این مقدار حدوداً ۹٪ با نتایج حاصل از نرم افزار اجزای المان محدود متفاوت است. علت این اختلاف، تفاوت در دو روش اجزای المان محدود و تئوری تصویر است. بر طبق مقالات مختلف در روش تئوری تصویر، نیروهای محوری کمتر از حد واقعی محاسبه می‌گردند، در نتیجه در روش اجزای المان محدود جواب‌های بدست آمده به واقعیت نزدیک‌تر هستند. نیروی شعاعی در ترانسفورماتور اول در حالت اتصال کوتاه رفتاری مشابه با حالت نرمال داشته با این تفاوت که جریان اتصال کوتاه در سیکل‌های اول به علت وجود مؤلفه‌ی نمایی دارای تغییرات سینوسی نمی‌باشد و پس از طی چند سیکل به حالت تنابوی برخواهد گشت. مقداری نیروی شعاعی سیم پیچ اول در راستای y مشابه با سیم پیچ سیلندری است؛ اما در راستای x ، مقدار آن تقریباً ۱۶ برابر مؤلفه‌های y است مطابق (شکل ۱۷).



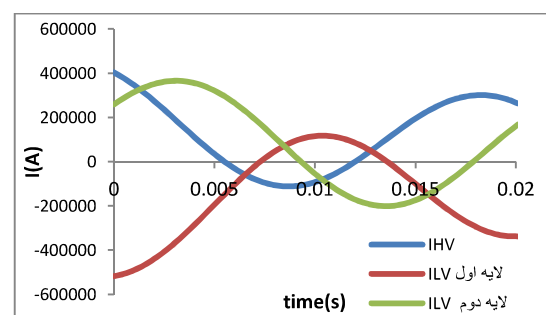
(الف)

۲-۴- محاسبه‌ی نیروی الکترومغناطیسی در شرایط اتصال کوتاه در ترانسفورماتور اول و سیلندری
به دلیل اختلاف فاز بین جریان دو لایه سیم پیچ فشار ضعیف، نمی‌توان تنها از رابطه‌ی (۱۰) برای محاسبه نیروهای اتصال کوتاه استفاده نمود. بلکه باید اختلاف فاز را هم، در فرمول جریان اتصال کوتاه لحاظ کرد. این جریان اتصال کوتاه در نظر گرفته شده در رابطه‌ی (۱۱) دارای مؤلفه‌ی نمایی و فرکانس 50 Hz است. نیروی بدست آمده از این فرمول‌ها دارای سه مؤلفه‌ی dc و فرکانس 50 و فرکانس 100 Hz می‌باشد [۲۲].

$$I_{\max} = \frac{I_{normal} \times k\sqrt{2}}{\sqrt{U_x^2 + U_r^2}} \quad (10)$$

$$I_{sc} = I_{\max} (\sin(\omega t + \alpha - \varphi) - e^{-\frac{t}{\tau}} \times \sin(\alpha - \varphi)) \quad (11)$$

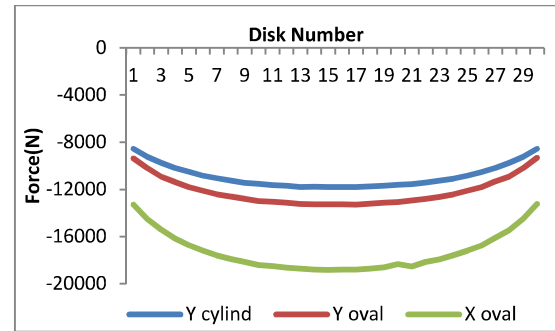
در روابط بالا $K\sqrt{2}$ ، ضریب پیک اتصال کوتاه است؛ U_x و U_r به ترتیب افت ولتاژ راکتانسی و افت ولتاژ اهمی ترانسفورماتور هستند. همچنین مقدار α زاویه‌ی ولتاژ در هنگام اتصال کوتاه می‌باشد. با توجه به فرمول (۱۱) بیشترین مقدار جریان اتصال کوتاه در $\alpha = \frac{\pi}{2}$ رخ خواهد داد [۲۳]، τ ثابت زمانی ترانسفورماتور و φ اختلاف فاز است (شکل ۱۴).



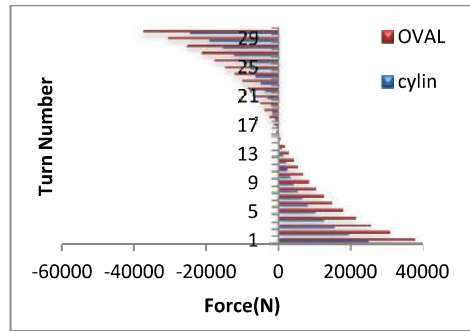
شکل (۱۴): منحنی جریان سیم پیچ‌های ترانسفورماتور اول و سیلندری در شرایط اتصال کوتاه

۲-۵- مقایسه‌ی نیروی الکترومغناطیسی در شرایط اتصال کوتاه در ترانسفورماتور اول و سیلندری

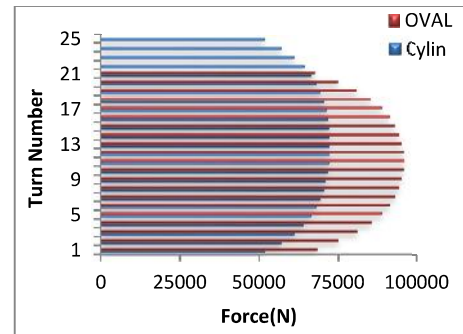
همانگونه که انتظار می‌رفت مقدار نیروهای اتصال کوتاه شعاعی و محوری ترانسفورماتور اول همانند نیروهای الکترومغناطیسی در حالت کار نرمال بیشتر از ترانسفورماتور سیلندری است. مقایسه‌ی بین نیروهای شعاعی و محوری ترانسفورماتور اول و سیلندری در شکل ۱۵ و در جداول (۶) و (۷) صورت گرفته است. با توجه به نتایج بدست آمده در حالت



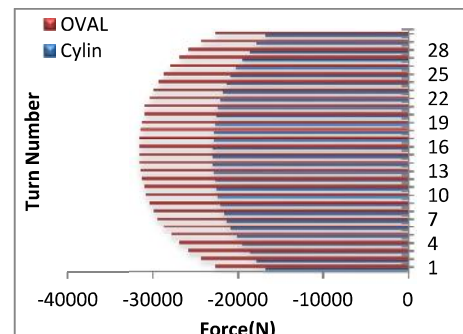
شکل (۱۷) مؤلفه های x, y, z نیروی شعاعی سیم پیچ HV در حالت اتصال کوتاه ترانسفورماتورهای ا Oval و سیلندری



(ا)



(ب)



(ج)

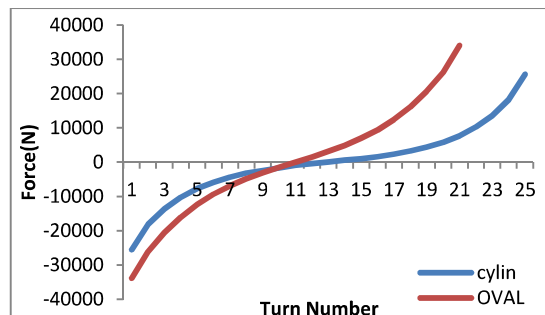
(د)

شکل (۱۵): توزیع نیروی الکترومغناطیسی در شرایط اتصال کوتاه ترانسفورماتور ا Oval و سیلندری، (الف) نیروی محوری LV، (ب) نیروی محوری HV، (ج) نیروی شعاعی LV، (د) نیروی شعاعی HV

$t = \frac{5\pi}{4}$	$t = \frac{3\pi}{4}$	$t = \frac{\pi}{2}$	$t = \frac{\pi}{4}$	$t = 0$	نیروی محوری (نیوتون) محاسبه شده توسط نرم افزار Maxwell
-2400	-150	-10400	-28500	-33800	دور اول سیم پیچی فشار ضعیف ا Oval آخر
2400	140	10500	28600	34000	دور اول سیم پیچی فشار ضعیف ا Oval آخر
-2000	-230	-8400	-22000	-25500	دور اول سیم پیچی فشار ضعیف سیلندری
2010	230	8400	22100	25600	دور اول سیم پیچی فشار ضعیف سیلندری

جدول (۷) تغییرات نیروی اتصال کوتاه شعاعی سیم پیچی فشار ضعیف ترانسفورماتور ا Oval و سیلندری نسبت به تغییرات زمان

$t = \frac{5\pi}{4}$	$t = \frac{3\pi}{4}$	$t = \frac{\pi}{2}$	$t = \frac{\pi}{4}$	$t = 0$	نیروی شعاعی (نیوتون) محاسبه شده توسط نرم افزار Maxwell
2600	1670	14210	56900	80670	مولفه X سیم پیچی فشار ضعیف ا Oval کل
1660	1110	9090	36330	51120	مولفه Y سیم پیچی فشار ضعیف ا Oval کل
3080	2000	16860	678500	95500	نیروی کل سیم پیچی فشار ضعیف سیلندری
1920	890	9930	37000	50840	مولفه X سیم پیچی فشار ضعیف سیلندری
1920	890	9930	37000	50840	مولفه Y سیم پیچی فشار ضعیف سیلندری
2210	1250	14040	522320	71930	نیروی کل سیم پیچی فشار ضعیف سیلندری



شکل (۱۶) نیروی محوری سیم پیچ HV در حالت اتصال کوتاه ترانسفورماتورهای ا Oval و سیلندری

۳- نتیجه‌گیری

در این مقاله، در راستای تولید تکنولوژی ترانسفورماتور اول در ایران، به موضوع بررسی نیروهای الکترومغناطیسی این ترانسفورماتور پرداخته شد. علت انتخاب این موضوع نبود اطلاعات کافی در زمینه‌ی محاسبه و تحلیل نیروهای این ترانسفورماتور است. به منظور بررسی نوع رفتار نیروهای الکترومغناطیسی ترانسفورماتور اول در حالت کار عادی و اتصال کوتاه از روش اجزای المان محدود در محیط سه بعدی بهره گرفته شد. نتایج بدست آمده بیانگر بیشتر بودن نیروهای محوری و شعاعی ترانسفورماتور اول نسبت به ترانسفورماتور سیلندری است، همچنین توزیع نیروهای شعاعی ترانسفورماتور اول در مقطع آن بر خلاف ترانسفورماتور سیلندری یکنواخت نمی‌باشد. افزایش مقدار نیروهای ترانسفورماتور مورد بحث در مقایسه با ترانسفورماتورهای سیلندری باید در هنگام طراحی مد نظر قرار گرفته شود؛ زیرا در صورت نادیده گرفتن این موضوع، احتمال دفرمه شدن سیم پیچهای ترانسفورماتور اول بیشتر است.

مراجع

- [6] Antonios G. Kladas, Michael P , “ Leakage Flux And Force Calculation On Power Transformer Windings Unde Short-Circuit: 2D And 3D Models Based On The Theory Of Images And The Finite Element Method Compared To Measurements”, IEEE TRANSACTIONS ON MAGNETICS. VOL. 30, NO. 5. SEPTEMBER 1994.
- [7] دکتر صفائی، ا ، ۱۳۸۴، ”مبانی الکترومغناطیسی“، شیخ بهایی، چاپ هفتم،
- [8] Final Report Prepared By Working Group Of Study Committee No. 12 (Transformers) ;”Calculation Of Short Circuit Forces In Transformers”,1979,Electra.
- [9] یدالله کردلو ، سید هادی حسینی ، ” محاسبه نیروهای اتصال کوتاه در ترانسفورماتورهای قدرت توسط روش رابین: اعتبار سنجی محاسبات یک ترانسفورماتور نمونه توسط FEM ” بیست و چهارمین کنفرانس بین المللی برق، ۲۰۰۹ .
- [10] Hidajet Salkiü, Vlado Madžareviü , “Numerical Calculation of Magnetic Dissipation and Coil in Power Transformer” ,18th International Conference on Electricity Distribution , Turin, 6-9 June 2005.
- [11] WATERS. M , “The Measurement And Calculation Of Axial Electromagnetic Forces In Concentric Transformer Windings” , Electrical Engineers, Journal of the Institution , 63 - 64 ,1954.
- [12] Hongkui Li, Gang Cheng , “Analysis of Three-Phase Power Transformer Short Circuit Magnetic Field and Forces” ,International Conference on Electrical and Control Engineering 2010
- [13] J. Y. Lee, H .M. Ahn ,“Finit Element Analysis of Short Circuit Electromagnetic Force in Power Transformer “ International Conference on Electrical Machines and Systems, 49-61,2009.
- [14] KarenL. Butler, HangWang, “Modeling Transformers With Internal Incipient Faults ”, IEEE Transactions On Power Delivery,Vol.17,No.2,April2002.
- [15] A.R. Zare, “ Ferroresonance Modeling in Transformers Based on a Novel Hysteretic Core Model” , Journal of Iranian Association of Electrical and Electronics Engineering (IAEEE), Vol. 4, No.2, Fall and Winter 2007.
- [16] Ansoft Maxwell Software V.13,Documentation,2010
- [17] Feyzi M, Sabahi M, “Finite Element Analyses of Short Circuit Forces in Power Transformers with
- [1] Hyun. M,Sung Chin Hahn, “Experimental Verification and Finit Element Analysis of Short Circuit Electromagnetic Force for Dry –Type Transformer” ,IEEE TRANSACTION ON MAGNETICS, VOL.48,NO 2,FEBRUARY 2012
- [2] Jawad Faze, Bashir Mahdi Ebrahimi , “Three and Two-Dimensional Finit Element Computatio of Inrush Current and Short-circuit Electromagnetic Forces on Windings of a Three Phase Core-Type Power Transformer” ,IEEE TRANSACTION ON MAGNETICS, VOL.44,NO 5,MAY 2008.
- [3] Jiao Liyang, Bai Baodong , “The Calculation of Amper Force on Electric Power Transformer under the Short Circuit Situation” ,International Conference on Electrical Machines and Systems, 4423 - 4426 , 2008.
- [4] Abbaszadeh.k ,Jamali.S, “Calculation of Circuit Reactance and Electromagnetic Force in Three Phase transformer by Finit Element Method” ,Proceedings of theEighth International Conference on Electrical Machines and Systems, 1725 - 1730 Vol. 3, 2005.
- [5] Yun-Qiu Tang, Jing-Qiu Qiao, “Numerical Calculation Of Short Circuit Electromagnetic Forces On The Transformer Winding” ,IEEE TRANSACTIONS ON MAGNETICS, VOL. 26, NO. 2, MARCH 1990.



Asymmetric Condition ", IEEE International Symposium on Industrial Electronics, 576-581,2008.

[18] A . C. de Azevedo,A C.Delaiba , "Transformer mechanical stress caused by external short-circuit: a time domain approach" ,International Conference on power systems Transients (IPST'07) in Lyon,France on June 4-7 ,2007.

[۱۹] نیکولا بیانچی، ۱۳۸۷ ، " تحلیل ماشین های الکتریکی به روش اجزای المان محدود" ، ترجمه دکتر کریم عباس زاده، مهندس علیرضا قربانی، دانشگاه صنعتی خواجه نصیرالدین طوسی، چاپ اول.

[20] A. C. de Azevedo,Rezende, Ivan , "Investigation of Transformer Electromagnetic Forces Caused By External Faults Using FEM" ,Transmission & Distribution Conference and Exposition,1-6, Latin America, 2006. TDC '06. IEEE/PES .

[۲۱] آ-ک-ساوانی، " طراحی جامع ماشین های الکتریکی " ، ترجمه دکتر لسانی، دانش و فن، ۱۳۶۱ .

[۲۲] دکتر علی مطلبی، " ترانسفورماتور یک فازه و سه فازه " ، جلد دوم، چاپ پنجم، نشر افروز، ۱۳۸۵ .

[23] G. Bertagnolli ,“ Short Circuit Duty of Power Transformer", Second Revised Edition, ABB, 1996.

زیرنویس‌ها

^۱ OVAL

^۲ این نرم افزار ، نوشته شده توسط شرکت زیمنس می باشد و از نرم افزار-های صنعتی و درون شرکتی است. همچنین با استفاده از این نرم افزار نیروهای ترانسفورماتور قدرت نیز محاسبه می گردد.

